

## ارزیابی مخزن بنگستان با نمودارهای چاه و مدل‌سازی لرزه‌ای در میدان نفتی اهواز

علی امین‌زاده\* و محمدرضا رضایی\*

\* دانشکده علوم، دانشگاه تهران، گروه زمین‌شناسی

پذیرش مقاله: ۱۳۹۶/۰۷/۱۰  
دریافت مقاله: ۱۳۹۶/۰۷/۲۵

### چکیده

در مدل‌سازی مخازن نفتی از دو دسته اطلاعات، یکی نمودارهای چاه و دیگری مقاطع لرزه‌ای، استفاده می‌شود. یکی از راههای ایجاد ارتباط و انتساب نمودارها بر مقاطع لرزه‌ای، تبدیل لاغهای پتروفیزیکی به ردیزه‌های ژئوفیزیکی است. این کار از راه ساخت لرزه‌نگاشتهای مصنوعی به کمک نمودارهای چگالی و صوتی امکان‌بندیر است.

در این بررسی با استفاده از اطلاعات چاههای مخزن بنگستان در میدان اهواز، واقع در مناطق نفت خیز جنوب ایران، لرزه‌نگاشتهای در امتداد یکی از مقاطع لرزه‌ای منطبق بر راستای میدان ساخته شده و مقاطع لرزه‌ای مصنوعی به دست آمده است. پارامترهای پتروفیزیکی مثل تخلخل، لیتولوژی، حجم شیل و غیره هم از طریق نمودارهای چگالی، سرعت، نوترون و پرتو کاما محاسبه شده و از مقایسه همه این‌ها با یکدیگر، نحوه تغییرات و علل و عوامل رفتار بازتابندها در طول میدان مورد بررسی قرار گرفته است.

شناخت داده‌های مورد نیاز، آشنایی با موانع موجود، شناخت پارامترهای لرزه‌ای مناسب برای ساخت لرزه‌نگاشت در این مخزن، تشخیص پارامترهای پتروفیزیکی مؤثر و نحوه تغییرات آنها در طول میدان، دلایل ظهور بازتابندهای موجود روی مقاطع لرزه‌ای ساخته شده و ارائه راهلهای کاربردی برای مطالعات بعدی ازجمله دستاوردهای این بررسی است. بر اثر نتایج به دست آمده در این بررسی تخلخل، مهم‌ترین عامل مؤثر بر بازتابندها شناخته شد و توصیه شد که با استفاده از بازتابندهای لرزه‌ای در زون بندی میدان تجدید نظر صورت گیرد. نتایج به دست آمده که راهنمایی برای اکتشاف و مدل‌سازی مخازن جدیدند، نشان می‌دهند که اطلاعات دقیق، رقومی و تصحیح شده ژئوفیزیکی و پتروفیزیکی تا چه حد در نزدیک کردن مدل به واقعیت تأثیر دارند.

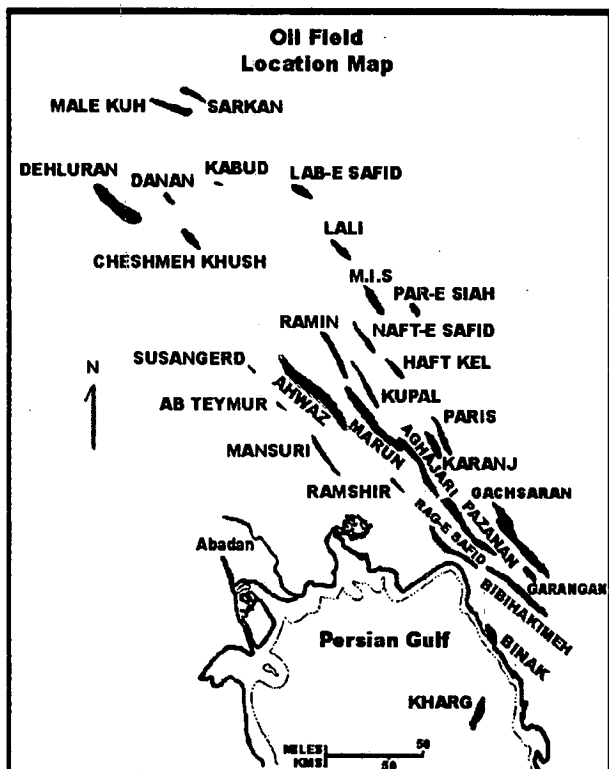
**کلیدواژه‌ها:** مدل‌سازی لرزه‌ای، مخزن نفت، لاغ، لرزه‌نگاشت مصنوعی، تخلخل، بنگستان اهواز، ایران

### ۱. مقدمه

مصنوعی در تشخیص بازتابندهای است، یعنی تشخیص اینکه کدام بازتاب روی مقاطع لرزه‌ای واقعی به کدام مرز بین لایه‌ها مربوط می‌شود. همچنین چون مقاطع لرزه‌ای واقعی، هم بازتاب‌های اولیه و هم بازتاب‌های چندگانه را نشان می‌دهند، پس همه بازتاب‌ها روی مقاطع لرزه‌ای با مرزها به وجود نیامده‌اند بلکه الگوهایی از نویه ذاتی در آنها وجود دارد که ممکن است تفسیر کننده را به اشتباه بیاندازد (ویل و همکاران، ۱۹۷۷)، به کمک مقاطع مصنوعی می‌توان بازتاب‌های اولیه را شناخت و از بقیه بازتاب‌های ناخواسته جدا کرد. کاربرد دیگر لرزه‌نگاشتهای مصنوعی در مشاهده اثر تغییرات زمین‌شناسی بر مقاطع واقعی است. با تغییر اعداد و رودی، تأثیر خواص سنگ‌ها بر ردیزه‌ها را می‌توان بررسی کرد.

در بحث مدل‌سازی مخازن نفتی اغلب اطلاعات مورد نیاز از راه نمودارهای چاه به دست می‌آیند. ولی انتکای صرف به این داده‌ها، مشکل نبود تداوم اطلاعات در فضای مابین چاه‌ها را به وجود خواهد آورد. یک مقاطع لرزه‌ای می‌تواند با نمایش نحوه تغییرات در بین چاه‌ها، این نبود اطلاعاتی را جبران کند. اما چگونه می‌توان بین نمودارهای چاه و مقاطع لرزه‌ای تطابق ایجاد کرد؟ داده‌های لرزه‌ای در واقع اطلاعاتی مربوط به چگالی و سرعت صوت در لایه‌ها هستند. کلید معما نیز همین‌جاست. چون در عملیات نمودارگیری، هم نمودار چگالی و هم نمودار صوتی برداشت می‌شوند، از ترکیب این دو لاغ می‌توان موفق به ساخت لرزه‌نگاشت مصنوعی شد. کاربرد اصلی لرزه‌نگاشتهای

کار تحقیقاتی بررسی کرد. این بررسی کمکی است به تعبیر و تفسیر مطالعات لرزه‌ای و پتروفیزیکی آینده روی این سازند در همین میدان یا مناطق مجاور، و همچنین راهنمایی کلی برای محققینی است که قصد انجام چنین مطالعاتی را در محلی دیگر دارند.



شکل ۱. نقشه میدان نفتی اهواز و میدان‌های مجاور.

## ۲ روش‌ها

### ۱-۲ جمع‌آوری داده‌ها

گام اول در ساخت لرزه‌نگاشت ترکیبی، رقومی کردن لاغ‌ها در فواصل عمقی مساوی است (گادالله، ۱۹۹۴). پس از تعیین چاه‌های اصلی (شکل ۳) داده‌های حدود ۵۰ چاه اطراف (چهار لاغ چگالی، صوتی، نوترون و پرتو گاما برای هر چاه) با تفکیک بسیار بالا (هر ۱۵ سانتی‌متر یک رقم) رقومی شده است. از آنجا که دو زون فوقانی و زون تحتانی این مخزن فاقد هیدروکربورند،

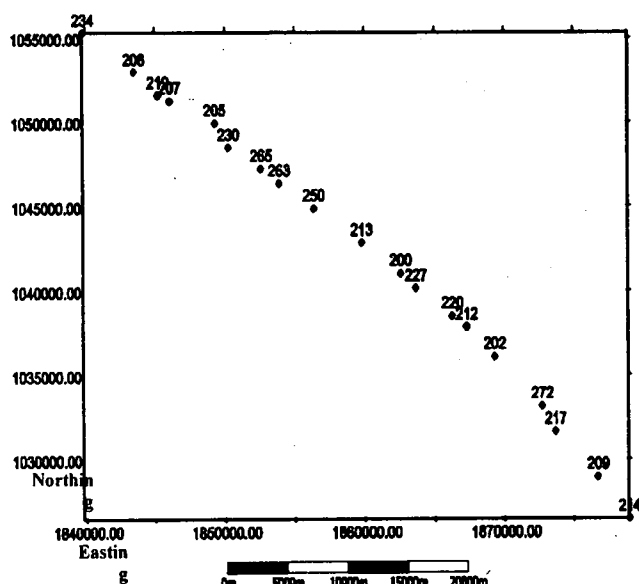
همین طور تغییرات ضخامت واحدها، تبدیل آنها به یکدیگر یا تغییر جنس لایه‌ها و تأثیر آن بر مقاطع لرزه‌ای قابل بررسی است. چنین مطالعه‌ای می‌تواند راهنمایی ارزشمند برای مقایسه شکل موج لرزه‌ای با واحدهای زمین‌شناسی باشد.

محل انجام این بررسی مخزن بنگستان میدان نفتی اهواز واقع در مناطق نفت خیز جنوب ایران است (شکل ۱) که مخزنی کربناته متعلق به کرتاسه و نهشته در محیط کم عمق دریابی است (بولز، ۱۹۷۸). این مخزن در محل میدان اهواز شامل دو سازند ایلام و سروک است که زون‌بندی آنها بر مبنای تغییرات تخلخل صورت گرفته است. بر اساسی زون‌بندی به عمل آمده (گریوس، ۱۹۷۴ و اسپریز، ۱۹۷۵) زون‌های A، B و C متعلق به ایلام و زون‌های D، E، F، G، H، I و J متعلق به سروک‌اند (شکل ۲). در سال‌های بعد با مطالعات بیشتر زون‌های C و E هر یک به سه زون تقسیم شدند. زون‌های C، E، G و I به عنوان لایه‌های با خصوصیات مخزنی شناخته شده‌اند و بقیه زون‌ها به علت تخلخل کم، از هیدروکربور نهی هستند.

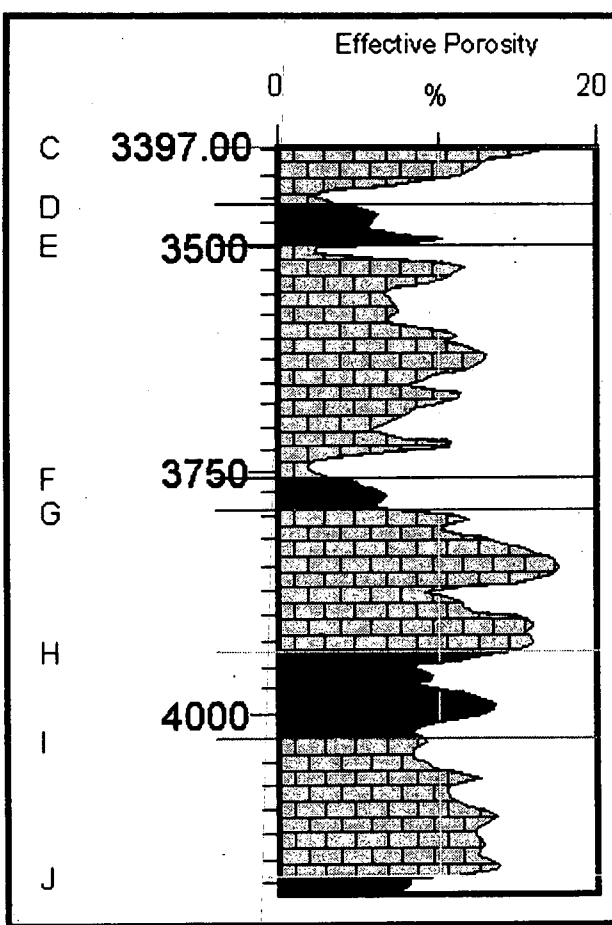
در این بررسی سعی بر آن است که در مخزن بنگستان به کمک نمودارهای پتروفیزیکی، ردلرزه‌های مصنوعی ساخته شود و سپس با مشاهده و تفسیر تغییرات حاصله روی ردلرزه‌ها، تأثیر پارامترهای مختلف بر آنها سنجیده شود. با این روش، هم پارامترهای پتروفیزیکی مخزن بنگستان در طول میدان بررسی می‌شوند (مثل تغییر لیتوژوئی، تغییر تخلخل، حجم شیل، ضخامت زون‌ها و غیره)، و هم پارامترهای لرزه‌ای که مناسب ساخت ردلرزه هستند مورد شناسایی قرار می‌گیرند (مثل نوع موجک، نوع فاز، قطبیت، مقیاس عمودی، نرخ نمونه گیری، دامنه و غیره). در ضمن به کمک مطالعه ردلرزه‌ها در طول میدان، می‌توان یک مقطع مصنوعی ایجاد کرد که تغییرات کلی بازتابنده‌ها را در طول میدان نشان دهد.

در نهایت با مقایسه این دو دسته از عوامل مؤثر، می‌توان تأثیر هر یک از عوامل پتروفیزیکی بر شکل ردلرزه‌ها را به عنوان یک

همچنین برای آنکه بتوان درنهایت به یک مقطع لرزه‌ای مصنوعی دست یافت، لازم است اطلاعات لاغک‌های صوتی و چگالی در فواصل ثابت بین چاه‌ها درون‌بایی شوند که این کار هم به ازای هر صد متر یک نمونه انجام شد. با این حال چون که عمق شروع و پایان زون‌ها در نقاط مختلف با هم متفاوت است و اطلاعاتی از مناطق فوقانی و تحتانی آنها هم وجود نداشت لذا اینکه نقطه شروع و پایان لاغک‌ها در یک عمق ثابت در نظر گرفته شود امکان‌پذیر نبود.



شکل ۳. چاه‌های اصلی مورد استفاده در این مطالعه.



شکل ۲. زون‌های مخزنی بنگستان (C, E, G, I) توسط قسمت‌های متراکم (J, H, F, D) از هم جدا شده است. این موضوع در نمودار تخلخل چاه شماره ۱۹۵ میدان اهواز به خوبی مشاهده می‌شود.

لذا محدوده پوشش این نمودارها از زون D تا I را در بر می‌گیرد که در کل سازند سروک را پوشش می‌دهند. لازم است این اطلاعات خام، تصحیح و پردازش شوند. نمودارهای چاه نسبت به ریزش و دیگر مشکلات چاه حساس‌اند، به خصوص لاغک چگالی که به سبب عمق نفوذ کم، از زون تحت نفوذ گل حفاری تأثیر می‌پذیرد و ممکن است اطلاعات نادرست ارائه کند (سراب، ۱۹۸۶). با تعیین محل‌های ریزش و مقایسه با چاه‌های مجاور، مقادیر عددی نمودار در محل‌های ریزش، زون به زون از راه درون‌بایی خطی تصحیح شدند.

تخلخل از لاغ صوتی هم از معادله (۳) نتیجه می‌شود که به معادله وایلی (وایلی و همکاران، ۱۹۵۶) مشهور است:

$$\phi_s = \frac{\Delta t_{\log} - \Delta t_{ma}}{\Delta t_{fl} - \Delta t_{ma}} \quad (3)$$

و در آن،  $\Delta t_{ma}$  زمان عبور (اختلاف زمان رسیدن صوت فرستاده شده از دستگاه نمودار گیری به دو گیرنده آن) از ماتریکس سنگ است.  $\Delta t_{fl}$  زمان عبور در سیال درون سنگ است. همان  $\Delta t_{\log}$  عددی است که با دستگاه روی نمودار ثبت شده است. تمام این اعداد بر حسب میکروثانیه بر فوت است. برای به دست آوردن زمان‌های عبور در ماتریکس و سیال باید مقادیر تخلخل لاغ چگالی (و یا تخلخل کل) آن چاه در مقابل لاغ صوتی و خط زگرسیون نقاط مربوطه رسم شود. مقادیر زمان عبور روی این خط در نقاط صفر و صد تخلخل به ترتیب زمان عبور برای ماتریکس و سیال را نشان می‌دهد. اگر ماتریکس سنگ غیرآهکی بود، باید به کمک چارت‌هایی مقادیر تخلخل حاصل از هر لاغ تصحیح می‌شد. ولی چون می‌دانیم که محیط عمده‌ای جنس آهکی دارد، لذا با کمی اغماض می‌توان جواب‌های هر لاغ را به ترتیبی که آمد به عنوان مقدار واقعی تخلخل پذیرفت. ضمن آنکه در اینجا اعداد دقیق تخلخل مد نظر نیست، بلکه تغییرات نسبی تخلخل مورد توجه است.

معادله (۴) نحوه تخمین حجم شیل از نمودار پرتو گاما را نشان می‌دهد:

$$V_{sh} = \frac{GR_{\log} - GR_{min}}{GR_{max} - GR_{min}} \quad (4)$$

با وارد کردن مقادیر حداقل و حداکثر لاغ گاما برای  $GR_{max}$  و  $GR_{min}$  می‌توان به ازای هر مقدار لاغ ( $GR_{\log}$ ) درصد حجم شیل سازند ( $V_{sh}$ ) در آن نقطه را به دست آورد. البته در اینجا سازند به نسبت تمیز است و شیلی ندارد، ولی به هر حال باید روش کلی را مد نظر داشت.

حداقل قرار دارد، به طوری که معمولاً لاغ پرتو گاما (CGR) بین صفر و ده درجه API در نوسان است. همچنین لایه‌ها از تدام و یکنواختی نسبی برخوردارند. شرایط اندازه‌گیری در ادامه مورد بحث قرار خواهد گرفت.

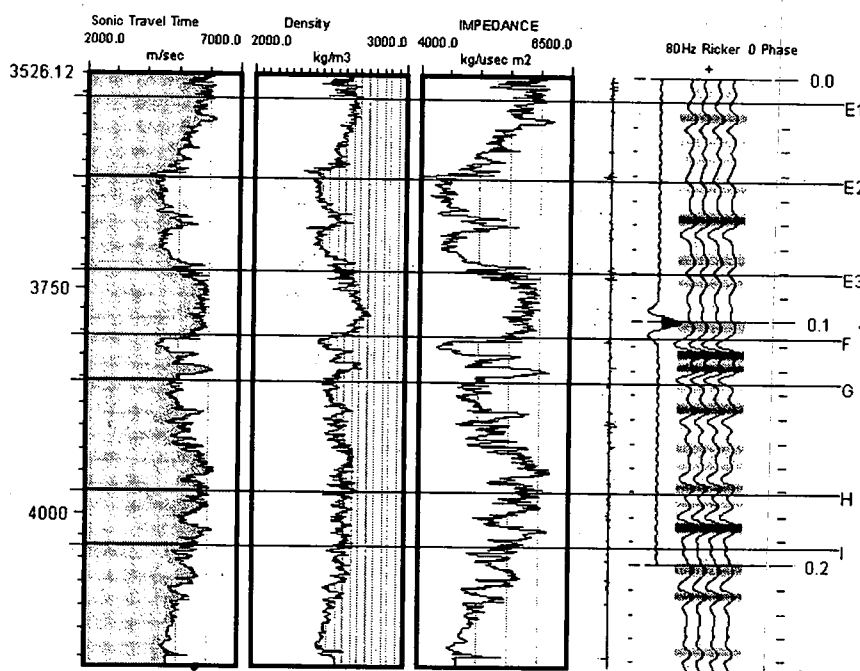
سه لاغ نوترون، چگالی و صوتی، ابزار شناخت تخلخل‌اند. اعداد قرانت شده روی لاغ نوترون به طور مستقیم تخلخل را نشان می‌دهند. از روی لاغ چگالی هم می‌توان با کمک معادله (۱) در سازندهای بدون شیل، تخلخل را حساب کرد:

$$\phi_D = \frac{\rho_{ma} - \rho_b}{\rho_{ma} - \rho_{fl}} \quad (1)$$

که در آن،  $\rho_{ma}$  چگالی ماتریکس است که در اینجا به دلیل کربناته بودن محیط ۲/۷۱ گرم بر سانتی‌متر مکعب در نظر گرفته شده است.  $\rho_{fl}$  چگالی سیال است که چون از روش محاسبه سریع استفاده شدم آن را به طور متوسط ۱/۱ فرض می‌کنیم. عددی که از روی لاغ خوانده می‌شود هم با  $\rho_b$  نشان داده شده است. برای به دست آوردن تخلخل مفید تصحیح شده نیز، با توجه به اینکه ممکن است آهک با درصد ناچیزی دولومیت همراه باشد از معادله (۲) استفاده می‌شود:

$$\phi_e = \sqrt{\frac{\phi_N^2 + \phi_D^2}{2}} \quad (2)$$

$\phi_e$  درصد تخلخل مفید و  $\phi_N$  و  $\phi_D$  به ترتیب درصد تخلخل‌های حاصل از لاغ‌های نوترون و چگالی‌اند. از روی لاغ صوتی هم می‌توان پی به تخلخل برد با این نفاوت که چون این لاغ نسبت به تخلخل‌های ثانویه حساسیت کم‌تری دارد، آنها را نشان نمی‌دهد و به همین دلیل معمولاً ارقام کم‌تری نسبت به دو لاغ قبلی به دست می‌دهد (نورمی و همکاران، ۱۹۹۰). از همین خصوصیت می‌توان برای شناخت میزان تخلخل ثانویه هم استفاده کرد که به راحتی با تفاضل این تخلخل از تخلخل کل قابل محاسبه است. تخلخل کل از میانگین تخلخل حاصل از لاغ‌های نوترون و چگالی به دست می‌آید و



شکل ۴. به ترتیب از چپ به راست نمودارهای صوتی، چگالی، امپدانس، ضریب بازتاب و لرزه‌نگاشت با بسامد ۸۰ هرتز برای چاه شماره ۲۰۶.

که در آن  $Z_1$  و  $Z_2$  به ترتیب مقاومت ظاهری صوتی در لایه بالایی همان در لایه پایین هستند. برای امواج رسیده به سطح زمین می‌توان تعریف کرد که ضریب بازتاب ثابت یا منفی را، بر حسب این که قطبیدگی مقطع لرزه‌ای نرمال یا معکوس باشد، به شکل برآمدگی یا پیک و فوروفنگی یا تراف روی ردلرزه ثبت کنند. بنابراین برای ساخت یک لرزه‌نگاشت مصنوعی به این اطلاعات نیاز هست: چگالی لایه‌ها، سرعت صوت در آنها و موجک لرزه‌ای که باید پارامترهای آن را تعیین کرد. چگالی و سرعت به راحتی و با دقت زیاد از نمودارهای چاه به دست می‌آیند. با استفاده از معادلات بالا و ترکیب آنها با موجک تعیین شده، در نهایت ردلرزه‌ای مشابه با مقطع لرزه‌ای واقعی به دست آورده خواهد شد (شکل ۴).

امکان ساخت اینها بدون نرم‌افزار میسر نیست لذا در تهیه این ردلرزه‌ها از نرم‌افزار ژئوسین استفاده شده است. داده‌های ورودی

### ۳-۴ ساعت لرزه‌نگاشت

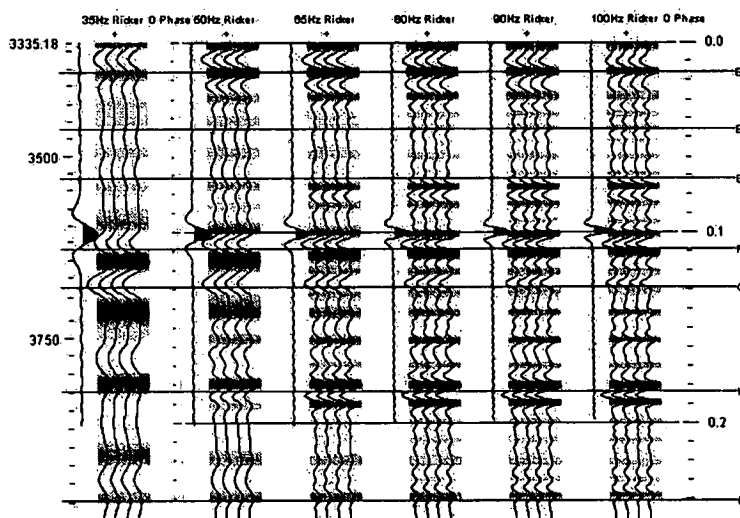
هر ردلرزه روی یک مقطع لرزه‌ای از تأثیر ضخامت، چگالی و سرعت سیر امواج لرزه‌ای ناشی می‌شود. مقدار دامنه هر ردلرزه با حاصل ضرب چگالی و سرعت لایه‌ها مطابق رابطه (۵) ارتباط دارد.

$$(5) Z = \rho V$$

که  $\rho$  چگالی سنگ و  $V$  سرعت صوت در آن است. امواج صوتی مورد نظر ما در این بررسی امواج طولی‌اند.  $Z$  پاگیری صوتی نامیده می‌شود. موج لرزه‌ای در مرز بین دو لایه می‌شکند و بخشی از آن به سطح زمین بازتاب می‌یابد. شدت بازتاب به اختلاف مقاومت ظاهری در دو سوی مرز بستگی دارد. برای نشان دادن این اختلاف از «ضریب بازتاب» مرز دو لایه استفاده می‌شود و آن را با  $RC$  نشان می‌دهند:

$$(6) RC = (Z_2 - Z_1) / (Z_2 + Z_1)$$

## امین‌زاده و رضایی



شکل ۵. لرزه‌نگاشت چاه شماره ۲۱۴ با بسامدهای مختلف. مقطع لرزه‌ای مصنوعی در راستای میدان اهواز برای مخزن بنگستان.

هر تر است. در مطالعات تحقیقاتی و برای ساخت ردلرزه‌های مصنوعی بهتر است از بسامدهای بیشتر استفاده شود چون دقت و تفکیک بیشتری دارد. بسامد کمتر یعنی طول موج بیشتر، و این باعث می‌شود که گاهی حتی دو مرز جدا از هم، به علت بزرگی طول موج، از هم تفکیک نشوند و خود را به صورت یک پیک روی ردلرزه نشان دهند. در این وضعیت با افزایش بسامد به تدریج شاهد جدایی این مرزاها از یکدیگر خواهیم بود. البته اگر هدف، بستن لرزه‌نگاشت به مقطع باشد باید نزدیک‌ترین بسامد به بسامد غالب مقطع واقعی را انتخاب کرد.

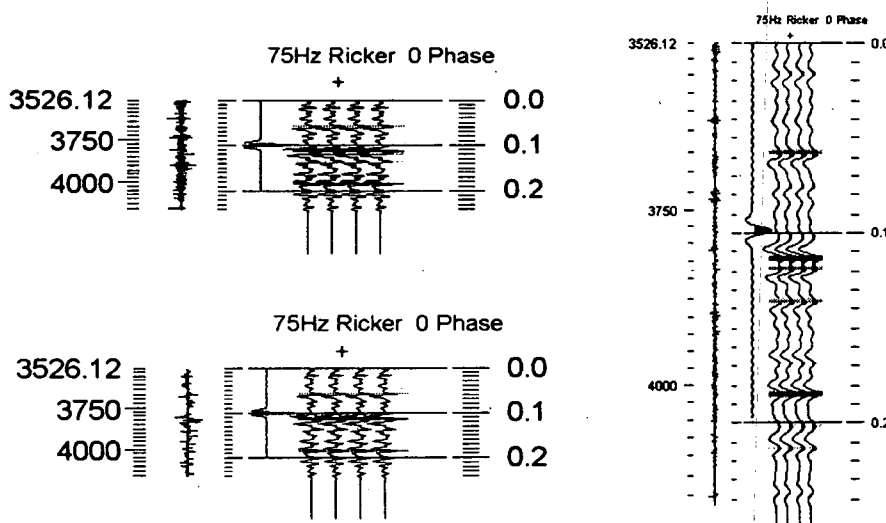
به منظور شناخت بهترین بسامد ممکن برای ساخت ردلرزه‌ها به طوری که مرزاها بهترین تفکیک را از هم نشان دهند، برای چندین چاه در نقاط مختلف ردلرزه‌هایی با بسامدهای متفاوت ساخته شد (شکل ۵). بسامدهای مورد استفاده عبارت‌اند از ۳۵، ۵۰، ۶۵، ۸۰، ۹۰ و ۱۰۰ هرتز. نتیجه حاصله در همه چاهها این بود که بسامدهای ۳۵ و ۵۰ برای این کار بسیار کم‌اند، به طوری که خیلی از مرزاها را نشان نمی‌دهند. در بسامدهای ۶۵ جدایش مرزاها را بهتر می‌توان دید که این جدایش در بسامد ۸۰ با دقت بیشتر و تفکیک بالاتری مشاهده می‌شود. در بسامدهای ۹۰ و ۱۰۰ تغییر چندانی در تفکیک مرزاها روی ردلرزه مشاهده نشد. در نتیجه

به آن، عمق و اعداد لاغ صوتی و چگالی هستند. کار مهمی که باید در اینجا انجام داد آن است که چون این نرم‌افزار، داده‌ها را به صورت خام قبول نمی‌کند، آنها را به قالبی که مورد قبول نرم‌افزار باشد یا در اصطلاح LAS (Log ASCII Standard) درآورد. LAS در اصل یک فایل نوشتاری به زبان رایانه‌ای ASCII است که شامل اطلاعات سرصفحه لاغ و خود مقادیر لاغ و عمق مربوطه است.

## ۳ بحث

برای بدست آوردن ردلرزه باید پارامترهایی را برای نرم‌افزار تعریف کرد که مهم‌ترین آنها نوع موجک و بسامد ردلرزه است. برای این مطالعه از موجک نوع ریکر با فاز صفر و دارای قطبیدگی مثبت استفاده شده که دارای یک پیک قوی است و نوسان کناره‌های آن به حداقل رسانده شده‌اند. تقارن پیک و اینکه دامنه آن درست در محل ضربی بازتاب قرار دارد از دیگر مزایای آن است. در کل موجک ریکر از نوع فاز صفر، بیشترین قدرت تفکیک می‌کن را به دست می‌دهد (اسسل‌منی و همکاران، ۱۹۹۷).

در عملیات لرزه‌ای معمولی، محدوده بسامد بین ده تا صد



شکل ۶. لرزه‌نگاشت‌های چاه شماره ۲۰۶ که با پارامترهای مختلف به دست آمده‌اند. سمت چپ بالا با نرخ نمونه‌گیری ۰/۲۵ میلی‌ثانیه و مقیاس عمودی ۵ سانتی‌متر به ازای هر ثانیه؛ سمت چپ پایین با همان مقیاس عمودی ولی با نرخ نمونه‌گیری ۲ میلی‌ثانیه؛ سمت راست با نرخ نمونه‌گیری ۰/۲۵ میلی‌ثانیه و مقیاس عمودی ۴۰ سانتی‌متر به ازای هر ثانیه.

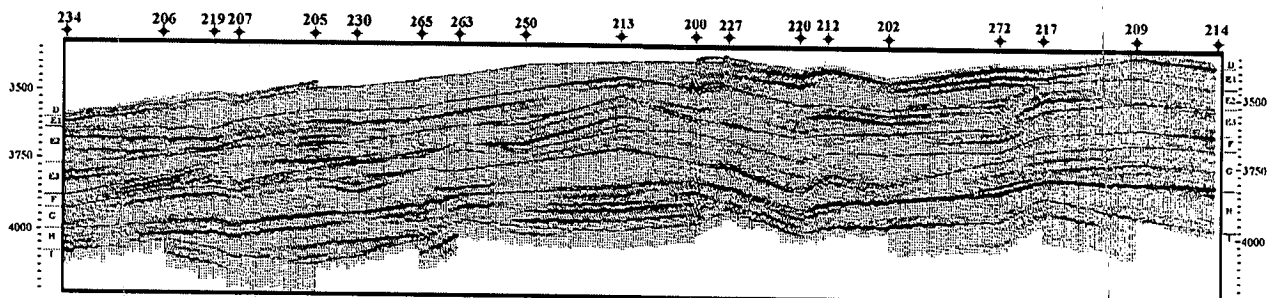
برای آنکه تغییرات کلی بازتابنده‌ها در طول میدان مورد بررسی قرار گیرد، لازم است یک مقطع لرزه‌ای مصنوعی تهیه شود. برای انجام این کار باید برای هر چاه روی مسیر انتخابی یک

لرزه‌نگاشت ساخته شود و سپس با روش درون‌بایی، در فواصل ثابت، لرزه‌نگاشت‌هایی دیگر به وجود بیاید تا سرانجام از کنار هم گذاشتن آنها یک مقطع لرزه‌ای حاصل شود (بیتس و همکاران، ۱۹۹۹). این مقطع در امتداد میدان با یکنار هم قرار دادن لرزه‌نگاشت‌های ساخته شده، به ازای هر صد متر یک لرزه‌نگاشت، مقطع لرزه‌ای مصنوعی به دست آمد (شکل ۷).

چنانچه به مسیر بازتابنده‌ها روی مقطع ساخته شده دقت شود دقیق‌ترین مرزی که تقریباً در کل طول میدان امتداد آن چشمگیر است مربوط به رأس زون H است که دلیل آن ناگهانی بودن کاهش تخلخل از زون G به زون H است. ضمن اینکه زون G در این مخزن دارای بالاترین میزان تخلخل است و اختلاف آن با تخلخل پایین زون H به مشخص‌تر شدن مرز کمک می‌کند. با دقت بیشتر در زون H مشاهده می‌شود که در قسمت‌های میانی و

بهترین بسامد ممکن در این شرایط، بسامد ۸۰ هرتز تشخیص داده شد.

پارامترهای دیگری هم هست که روی شکل ظاهری ردلرزه تأثیر می‌گذارد. که مقیاس عمودی و نرخ نمونه‌گیری از جمله آنهاست. برای رسم ردلرزه‌ها از مقیاس ۴۰ سانتی‌متر به ازای هر ثانیه استفاده شد که از فشردگی کمتر و تفکیک بهتری برخوردار بود. نرخ نمونه‌گیری هم ۰/۲۵ میلی‌ثانیه انتخاب شد تا امکان تغییر و افزایش بسامد وجود داشته باشد (شکل ۶). از دیگر پارامترهای قابل تغییر در نرم‌افزار مقیاس دامنه ردلرزه‌ها است که در حالت عادی و به صورت پیش‌فرض، این مقدار برابر یک واحد است. هر گونه افزایش، و یا کاهش این عدد، به شدت روی شکل ردلرزه تأثیر می‌گذارد و باعث می‌شود پیک‌ها و تراف‌های روی آن شدیدتر یا ملایم‌تر ظاهر شوند. از آنجا که هر گونه تغییر در این پارامتر، شکل لرزه‌نگاشت را از حالت عادی خارج می‌کند، لذا در ساخت ردلرزه‌های بعدی از همان مقدار پیش‌فرض نرم‌افزار استفاده شد.



شکل ۷. مقطع لرزه‌ای مصنوعی در راستای میدان اهواز برای مخزن بنگستان. (مقیاس قائم  $\frac{\text{cm}}{\text{s}}$ ، مقیاس افقی  $\frac{\text{km}}{\text{Tr. ۱۰}}$ ، فاصله نمودنبرداری MS ۰/۲۵ و موجک به کار رفته نوع ریکر).

معمولًا زمانی پیش می‌آید که ماتریکس سنگ آهکی باشد. متغیر عمدۀ در این مخزن تخلخل است. با بررسی تغییرات کلی تخلخل در راستای میدان مشخص می‌شود که زون G با میانگین تخلخل مفید ۱۱/۷۱٪، بیشترین تخلخل و زون F با میانگین تخلخل مفید ۷/۱۱٪ کمترین میزان تخلخل را دارد. حداکثر متوسط تخلخل در زون G معادل ۱۷/۶۰٪ و حداقل آن در زون F معادل ۴/۷۰٪ است. ضمن آنکه تفاوت بارزی بین میانگین تخلخل قسمت‌های شرقی میدان با قسمت‌های غربی دیده نمی‌شود.

#### ۴ نتیجه‌گیری

مشاهده شد که برای ساخت لرزه‌نگاشت در این مخزن، بسامدهای کم گرچه مناسب است ولی لزوماً با زون‌بندی پتروفیزیکی تطابق نشان نمی‌دهد. علت آن هم به یکنواختی محیط باز می‌گردد. تخلخل عامل اصلی ظهور بازتابنده روی لرزه‌نگاشت است. ذر قسمت‌های غربی مخزن تغییرات بیشتری دیده می‌شود که شاید بتوان زون‌های جدیدتری برای آن تعریف کرد. از آنجا که این بررسی به طور اخص روی مخزن بنگستان در میدان اهواز صورت گرفته، لذا می‌توان به عنوان کلیدی برای مطالعات بعدی روی بنگستان از آن استفاده کرد. مقایسه مقطع مصنوعی با مقاطع لرزه‌ای منطقه و بستن لرزه‌نگاشتها به آنها کمک شایانی به تفسیر مقاطع مزبور می‌کند.

غربی میدان درون این زون، بازتابنده‌های قوی وجود دارند که در قسمت‌های شرقی دیده نمی‌شوند. از روی نمودار تخلخل پیداست که قسمت متخلف زون H منطبق با بازتابنده‌های ظاهرشده روی مقطع است. پیشنهاد می‌شود لاقل در مناطق میانی و غربی میدان، مخزن بنگستان به چند زیرزون تقسیم شود.

در نقاطی هم بازتابنده‌هایی به صورت پراکنده وجود دارد که با مرزهای تعیین شده برای زون‌ها انطباق ندارند. مثلاً در محل چاه شماره ۲۷۲ در زون E1 دو بازتابنده قوی مشاهده می‌شود که مربوط به مرز زون نیستند. بر مبنای گزارش پetrofizیکی این چاه، زون E1 از آهک خالص تشکیل شده ولی درون آن دو رگه آهک دولومیتی وجود دارد. پس یک دلیل آن می‌تواند تغییرات لیتلولوزیکی موقتی باشد. دلیل دیگر همان تغییرات محلی تخلخل است که مثلاً در زون H باعث بروز بازتابنده‌هایی خارج از مرزهای از پیش تعیین شده می‌شود.

در این بررسی چون مخزن بنگستان جنسی کاملاً یکنواخت دارد، لذا در تفسیر لرزه‌نگاشتها نمی‌توان روی تغییر لیتلولوزی حساب کرد. با توجه به گزارش‌های چاه، تمامی زون‌های سروک، جنس آهکی دارند و فقط در افق‌های محدودی قدری دولومیتی می‌شوند. ماسه سنگ هم اصلاً وجود ندارد. ضمن اینکه شواهد موجود هم دال بر یکنواختی لیتلولوزی است. مثلاً در تمامی نقاطی که در چاه‌ها ریزش یا مشکل خاصی وجود ندارد، لگک‌های بوئرون و چگالی بر هم منطبق‌اند که این وضعیت

- Marion, D. and Jizba, P., 1997, Acoustic properties of carbonate rocks: use in quantitative interpretation of sonic and seismic measurements: in, Palaz, I., and Kurt J. Marfurt Ed., Carbonate Seismology, Society Of Exploration Geophysicist, Geophysical Development Series, USA, **6**, 75-94.
- Nurmi, R., Charara, M., Waterhouse, M. and Park, R., 1990, Heterogeneities in carbonate reservoirs: detection and analysis using borehole electrical imagery: in, Hurst, A., Lovell, M. A. and Morton, A. C., Ed., Geological Applications of Wireline Logs, Geological Society Special Publication, UK, **48**, 95-111.
- Serra, O., 1986, Fundamentals Of Well-log Interpretation. Volume2: The Interpretation of Logging Data: Elsevier, Amsterdam.
- Sheriff, R. E., 1977, Limitation of seismic reflections and geologic detail derivable from them: in, Charles E. Payton, Ed., Seismic Stratigraphy- Applications To Hydrocarbon Exploration, American Association Of Petroleum Geologists, USA, Memoir **26**, 3-14.
- Speers, R. G., 1975, Review of the reservoir geology of the Ahwaz Bangestan: Oil Service Company of Iran, Report No. P-2775.
- Vail, P. R., Todd, R. G. and Sangree, J. B., 1977, Seismic stratigraphy and global changes of the sea level, Part 5: Chronostratigraphic significance of seismic reflections: in, Charles E. Payton, Ed., Seismic Stratigraphy- Applications To Hydrocarbon Exploration, American Association Of Petroleum Geologists, USA, Memoir **26**, 99-116.
- Wyllie, M. R. J., Gregory, A. R. and Gardner, L. W., 1956, Elastic wave velocities in heterogeneous and porous media: Geophysics, **21**, 41-70.

### تشکر و قدردانی

از آنجا که داده‌های این مقاله از شرکت ملی مناطق نفت خیز جنوب (اهواز) تهیه شده، لازم است از برخورد صمیمانه و همکاری اداره کل زمین‌شناسی گسترشی، اداره پetroفیزیک و اداره کل پژوهش مناطق نفت خیز جنوب تشکر شود.

### منابع

امین‌زاده، ع. و رضایی، م.، ۱۳۸۱، ارزیابی مخزن بنگستان بوسیله نمودارهای چاه و مدلسازی لرزه‌ای در میدان نفتی اهواز: پایان‌نامه کارشناسی ارشد، دانشگاه تهران.

Anselmetti, F. S., Eberli, G. P. and Bernoulli, D., 1997, Seismic modeling of a carbonate platform margin Montagna Della Maiella, Italy; variations in seismic facies and implications for sequence stratigraphy: in, Palaz, I., and Kurt, J. Marfurt, Ed., Carbonate Seismology, Society Of Exploration Geophysicist, Geophysical Development Series, USA, **6**, 373-406.

Bates, C. R., Lynn, H. B. and Simon, M., 1999, The study of a naturally fractured gas reservoir using seismic techniques: AAPG Bulletin, **83**, no. 9, 1392-1407.

Bolz, H., 1978, Core studies in the Bangestan Reservoirs of the Ahwaz Field: OSCO Exploration Division Report.

Gadallah, Mamdouh R., 1994, Reservoir Seismology: PennWell, USA.

Grieves, K. F. C., 1974, Ahwaz Bangestan Reservoir geological study: Oil Service Company Of Iran, Report No. P-2380.